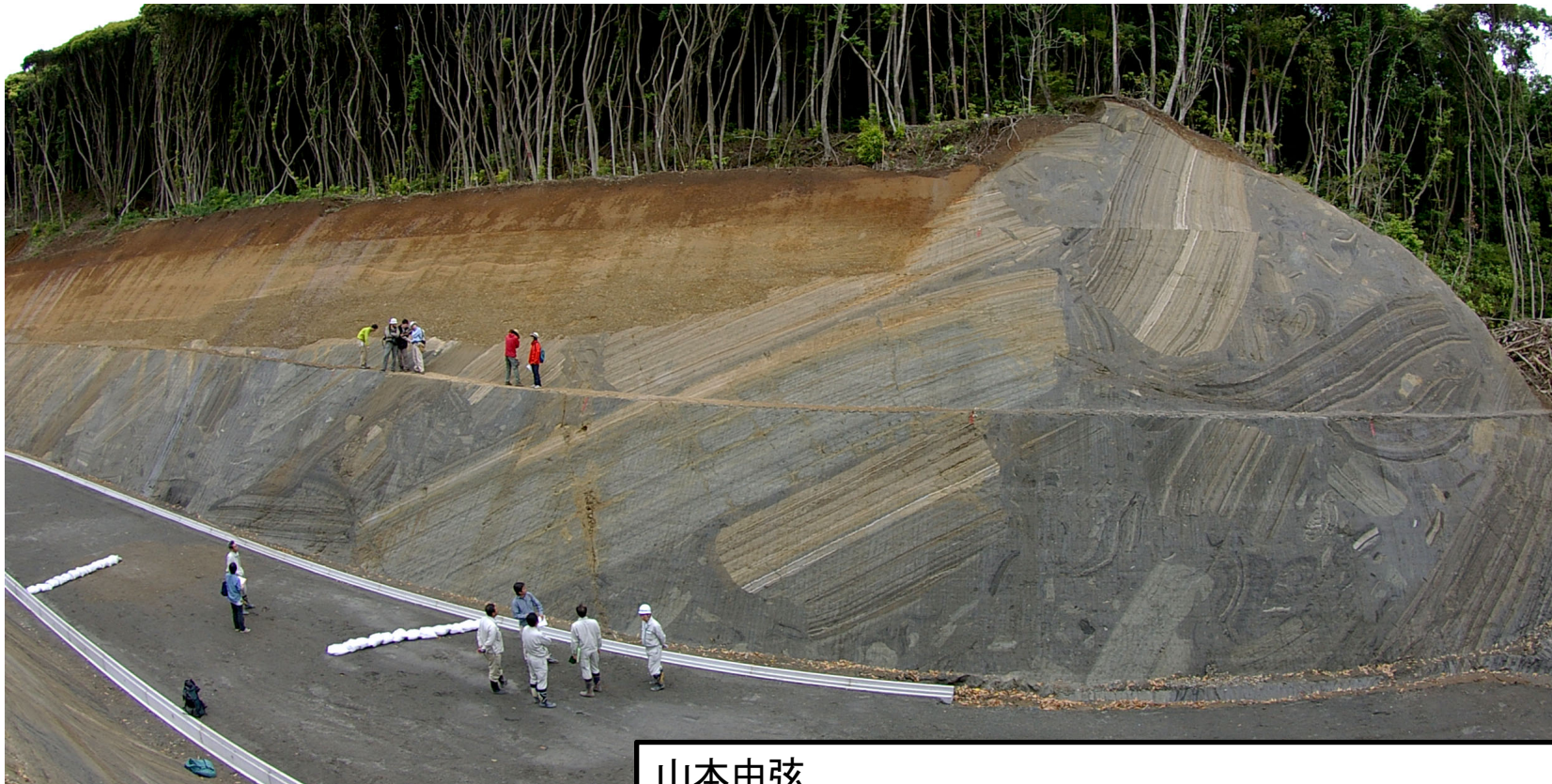


液状化による海底地すべりの内部構造と間欠すべりの特徴



山本由弦

国立研究開発法人海洋研究開発機構(JAMSTEC)

山本由弦(やまもとゆづる)

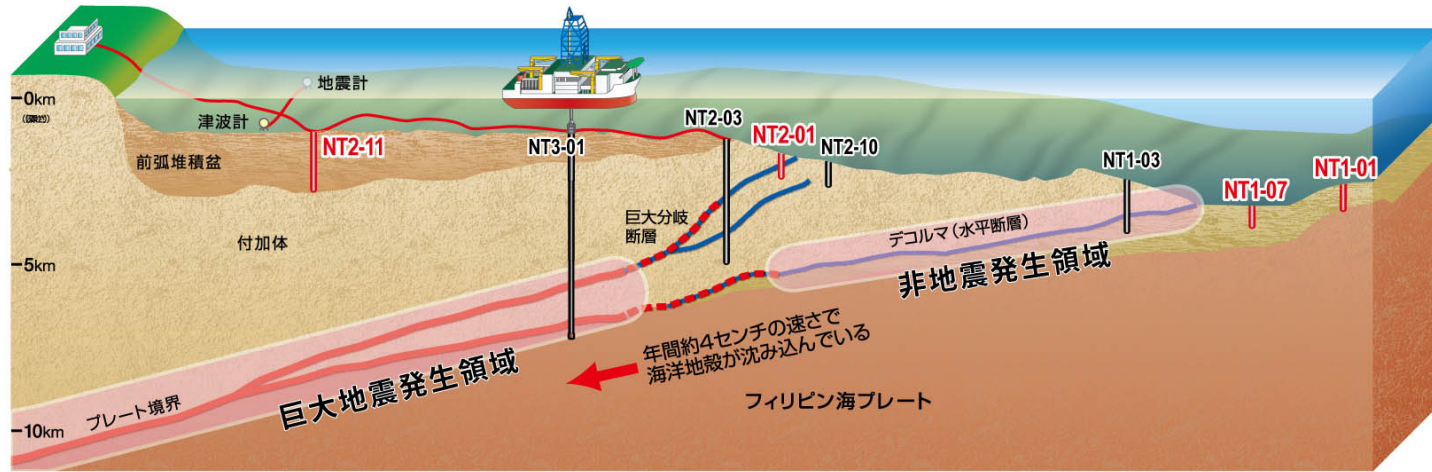
国立研究開発法人海洋研究開発機構(JAMSTEC)

@IODP Exp. 370 (2016)

- ・2003年:筑波大学院博士課程地球科学研究科修了
- ・2003年から3年間:静岡大学理学部(学振PD)
- ・2006年から2年間:産業技術総合研究所
- ・2008年度:京都大学工学研究科
- ・2009年～:海洋研究開発機構



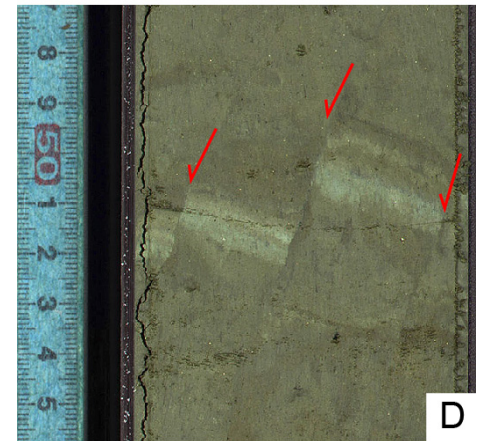
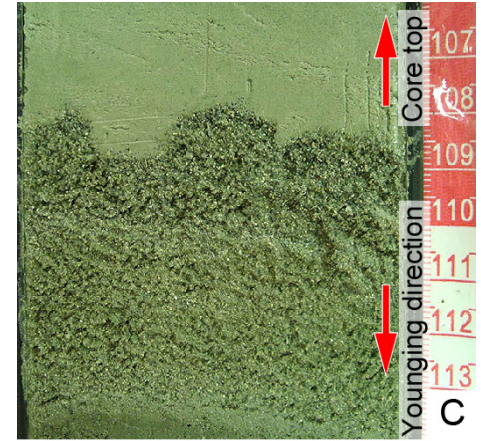
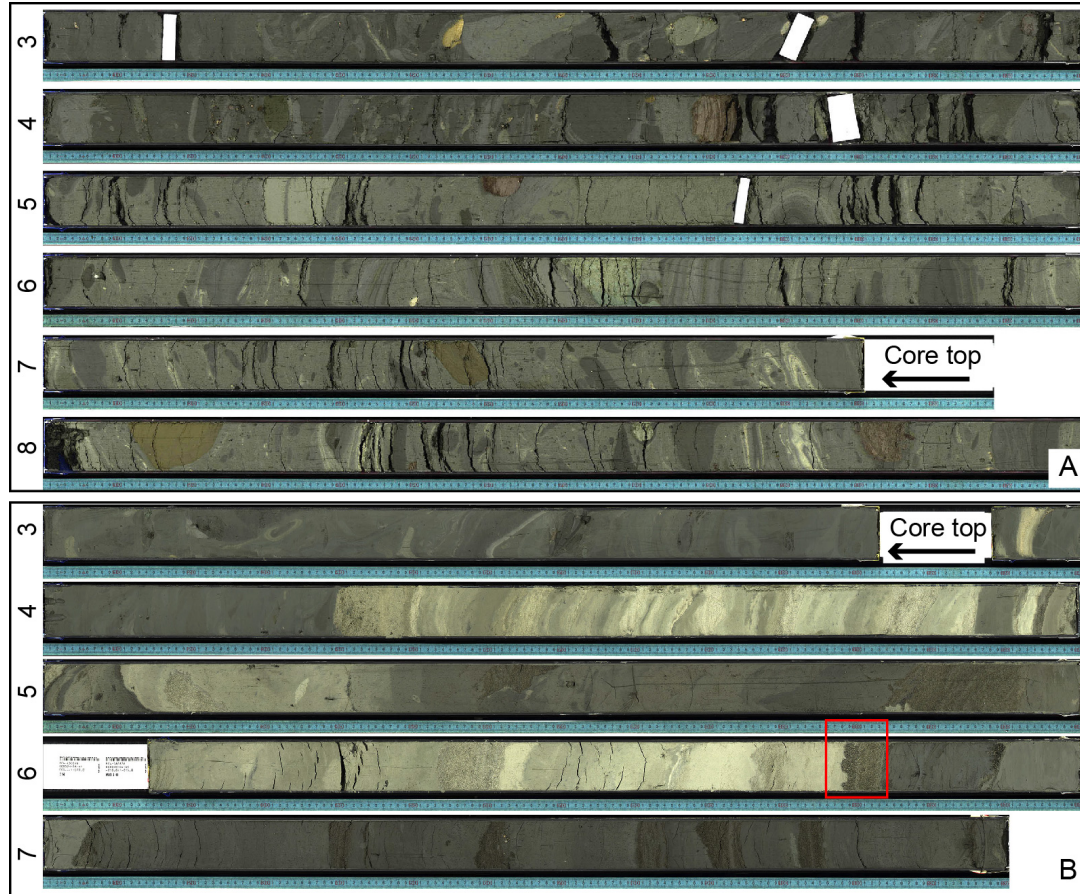
主要ターゲット：沈み込み帯浅部～深部（地震発生領域）の追跡



NanTroSEIZE発案当初の掘削計画 <http://www.j-desc.org/about-iodp/>

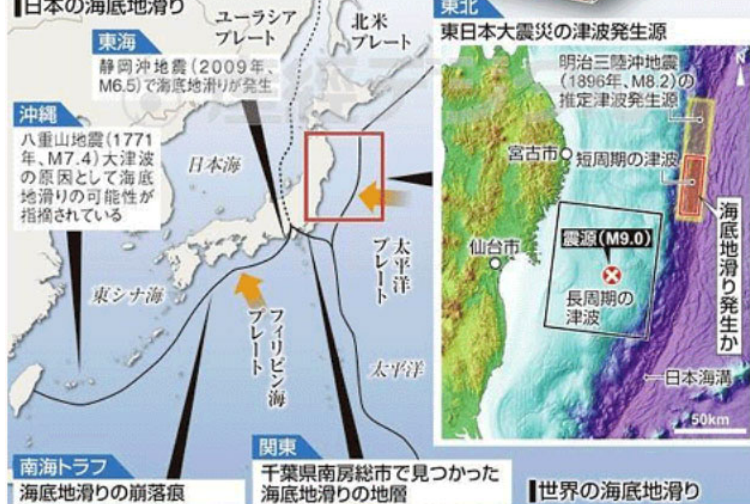
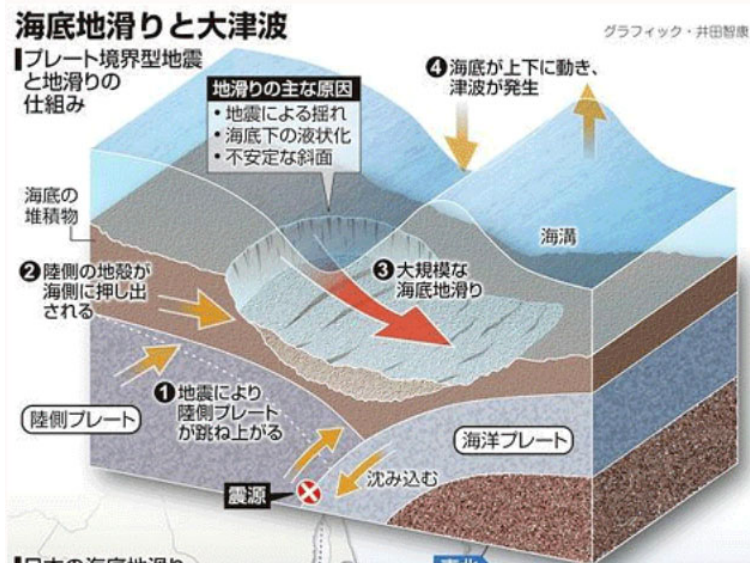
- ・沈み込んだ堆積物が、どのように堆積物→軟岩→地震発生物質と進化するのか？
- ・地震破壊が深部から浅部へと伝播する：浅部物質はどのような挙動を示すのか？

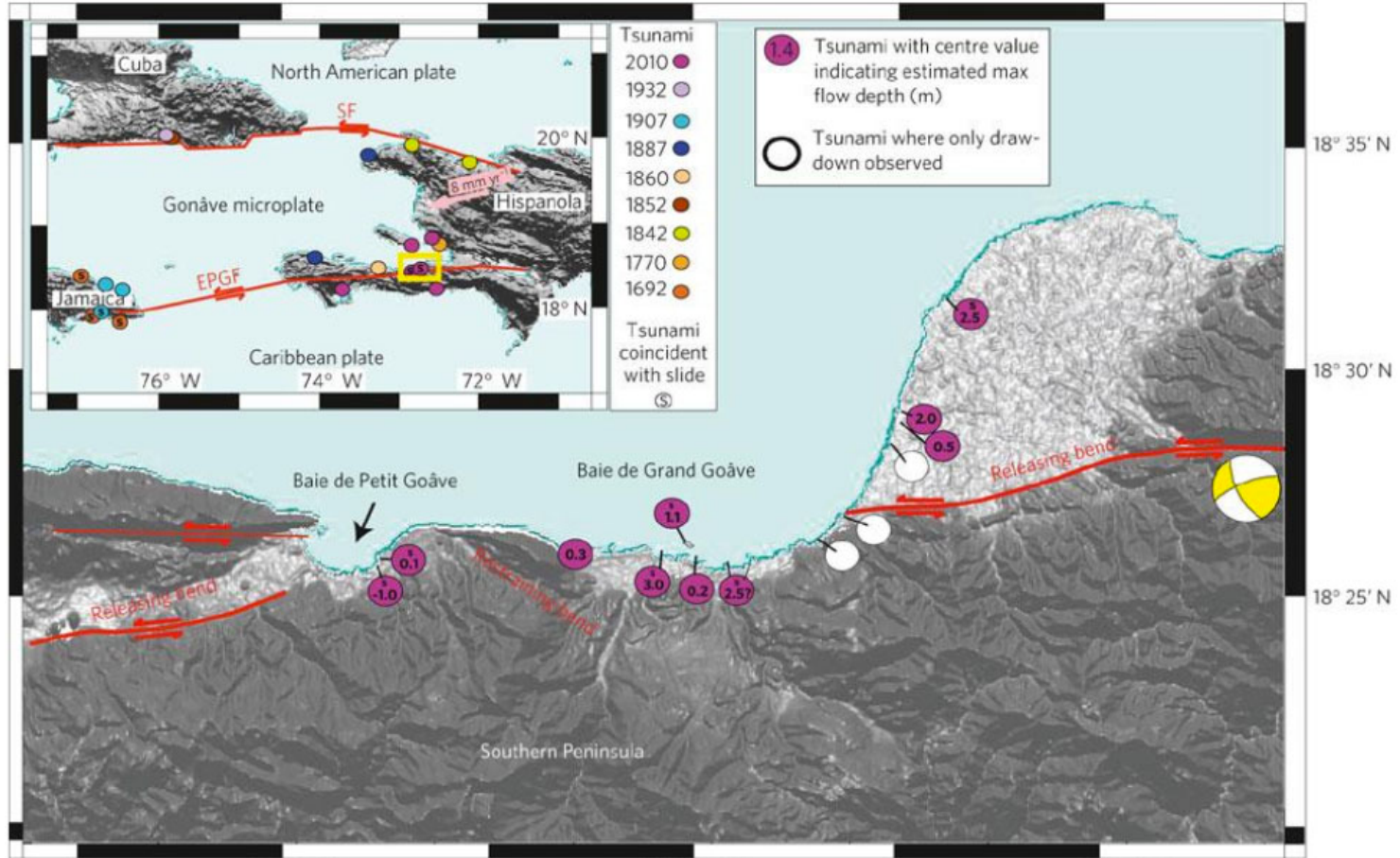
沈み込み帯には無数の海底地すべりが



Impact of submarine sliding

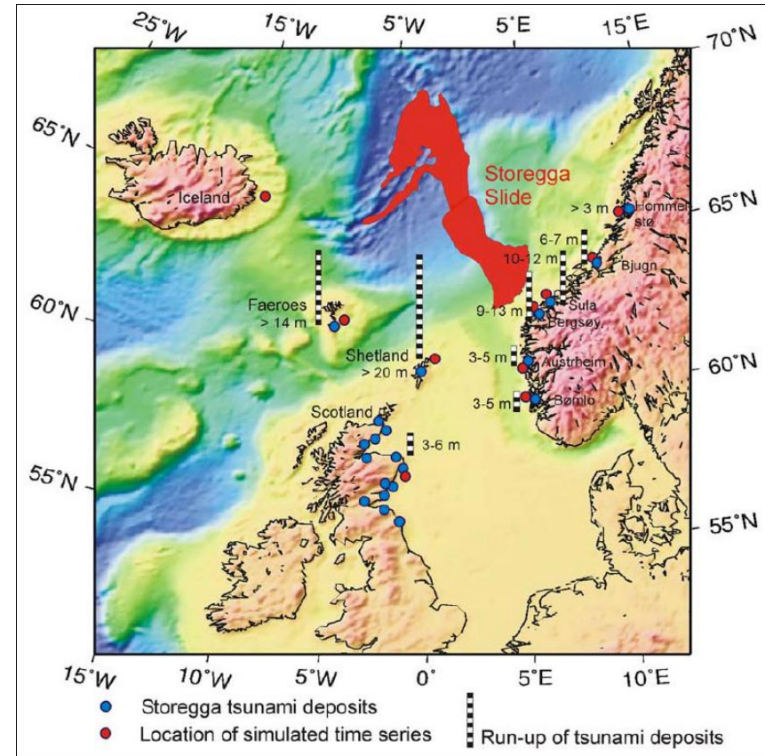
- Destruction of subaqueous infrastructures
- Covering subaqueous resources
- Tsunami







1979. Oct. 16, Nice, France
Tsunami generated by submarine landslide
related to airport construction

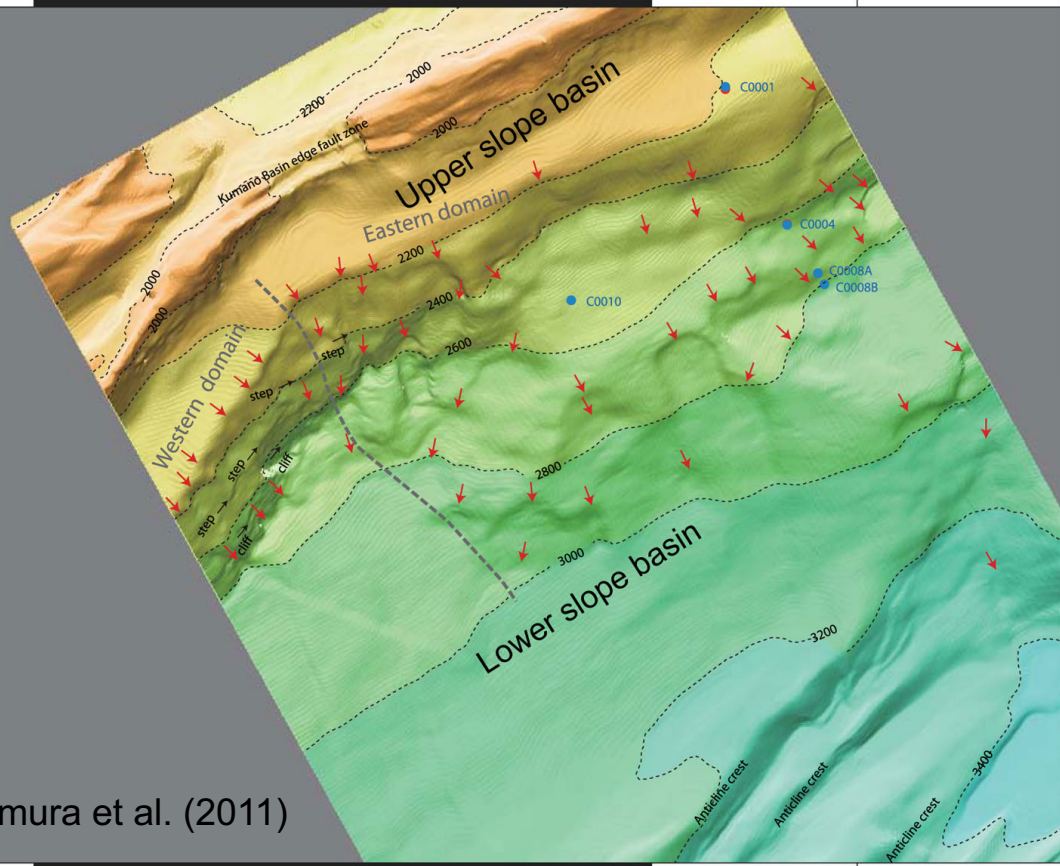


Bondevik et al., (2005)

~8,000 yrs. ago:
Storegga slide (3,500 km³ in total),
western off Norway

Questions for submarine sliding

136°36' 136°42' 136°46'



Kimura et al. (2011)

MTDs or slide scarps:
independent?
close relations?

What is the frequency
of submarine slides?
How are slides and
earthquakes related?

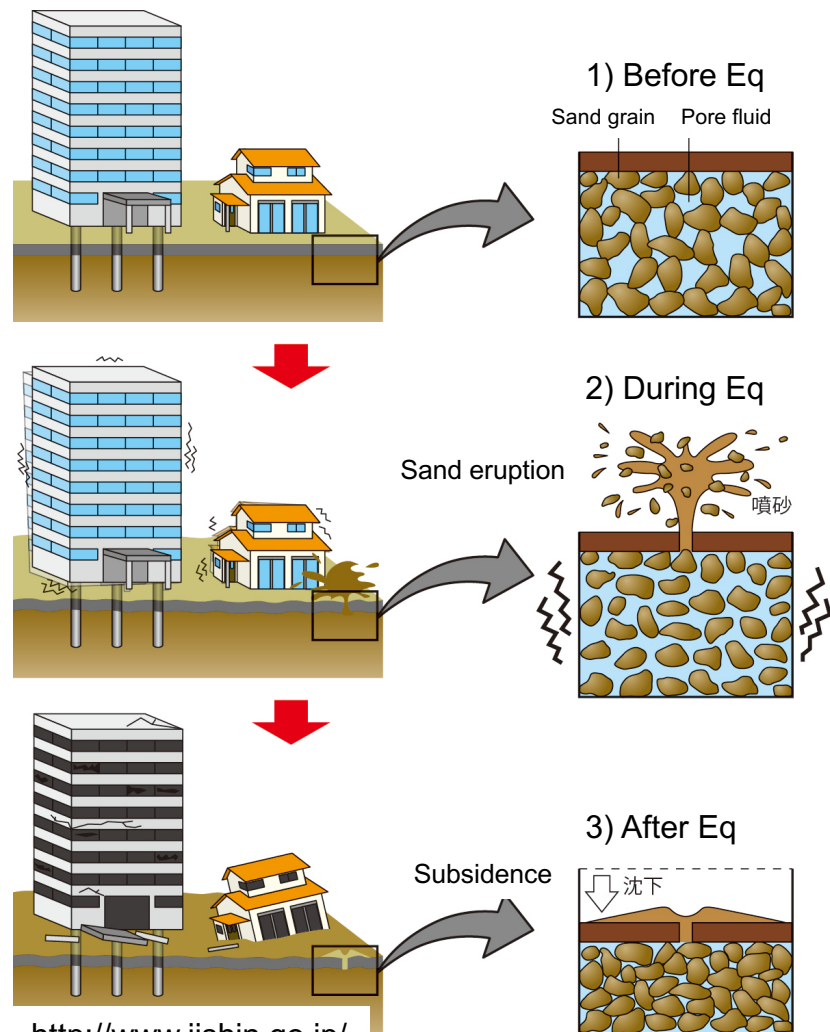
33°12'
33°08'

Liquefaction

Collapse sand-grains network
Excess fluid pressure
Loss of shear strength

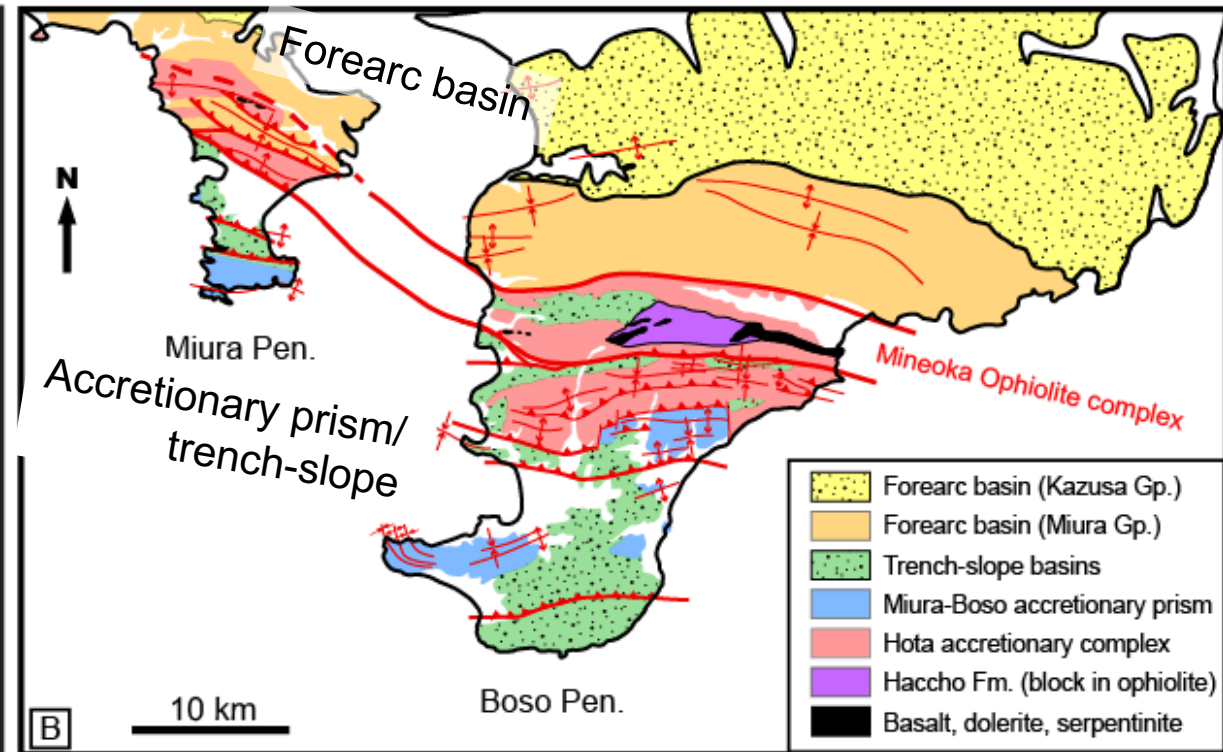
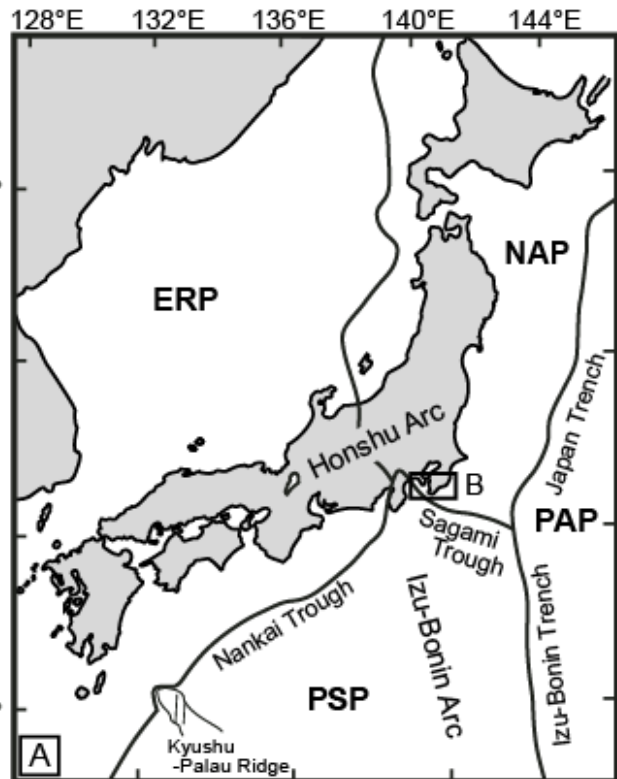


2011 Tohoku Eq: Urayasu (Tokyo-Bayside)

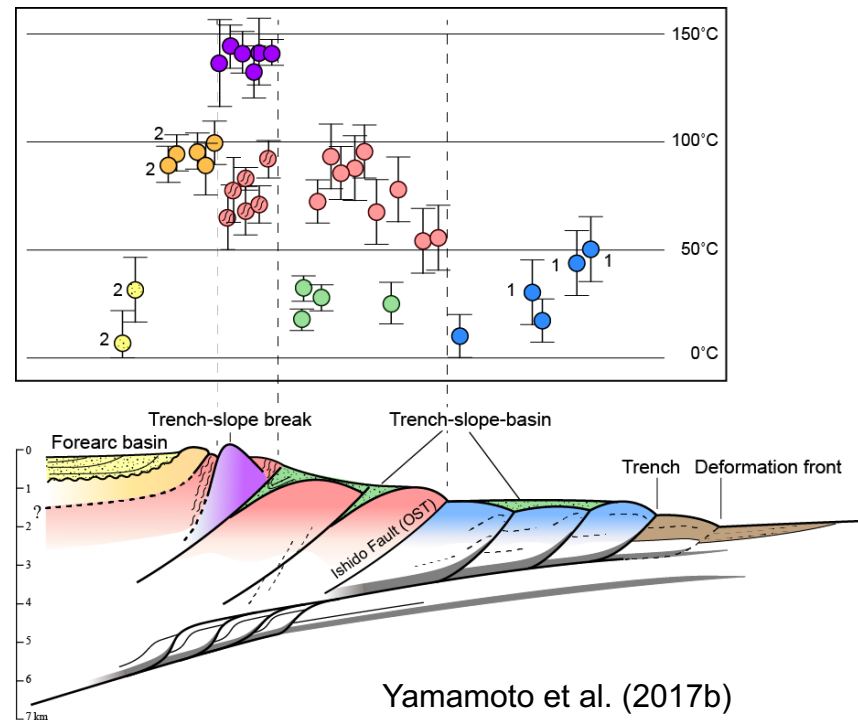
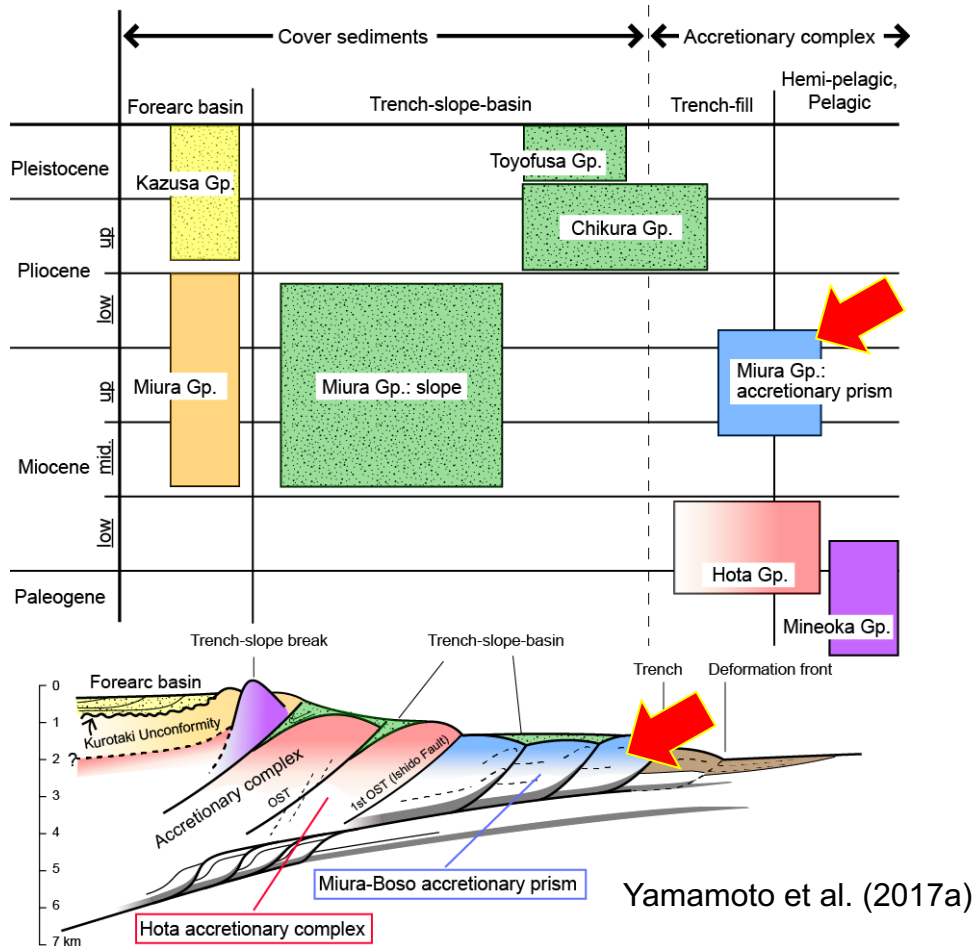


<http://www.jishin.go.jp/>

Setting



Young subduction margin on the Miura/Boso Peninsulas, central Japan





A



B

Yamamoto et al. (2009)

Note:

black colored part: sand/pebble

Lighter colored part: mud



C

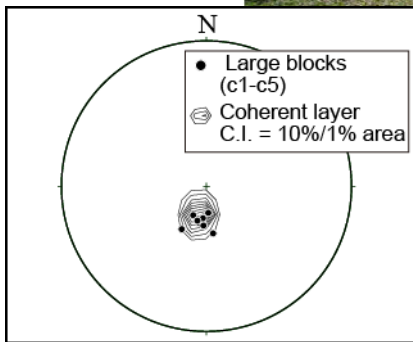
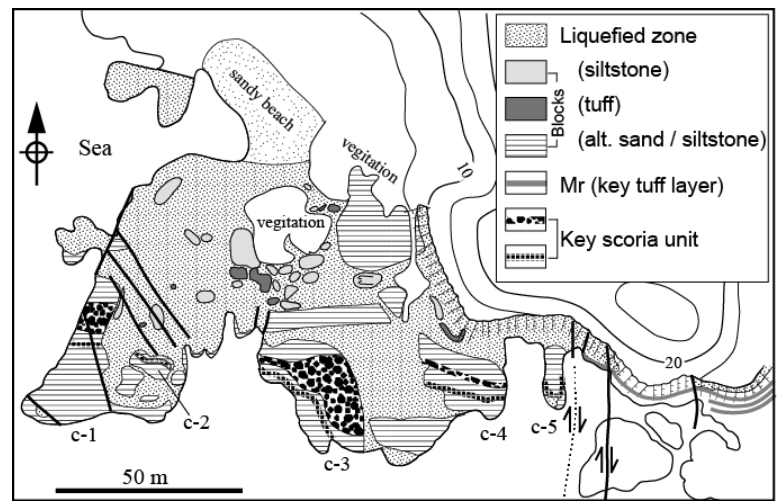
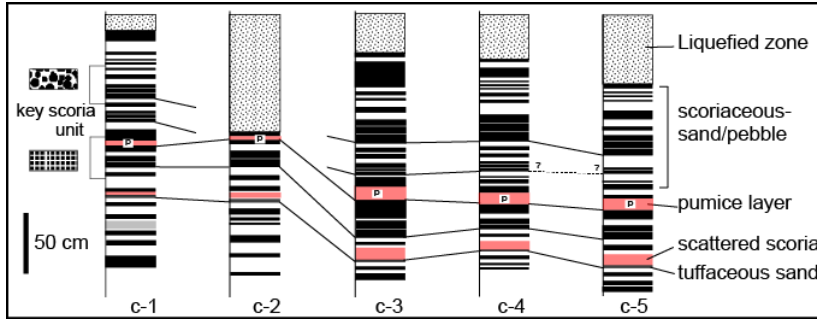
Block-in-matrix (most cases)

Matrices composed of sand/pebble

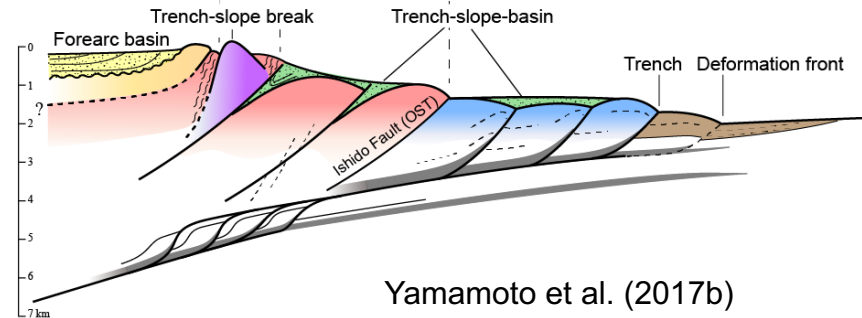
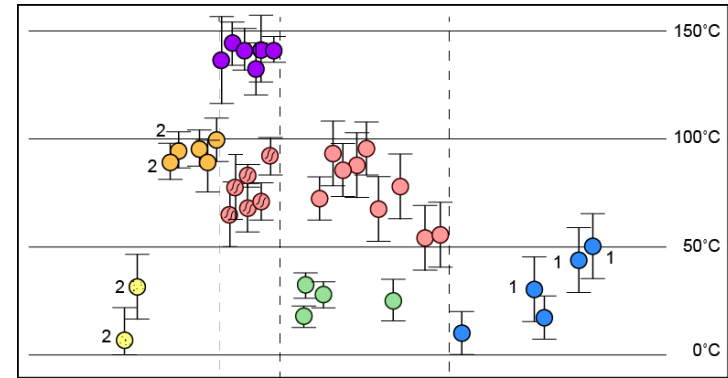
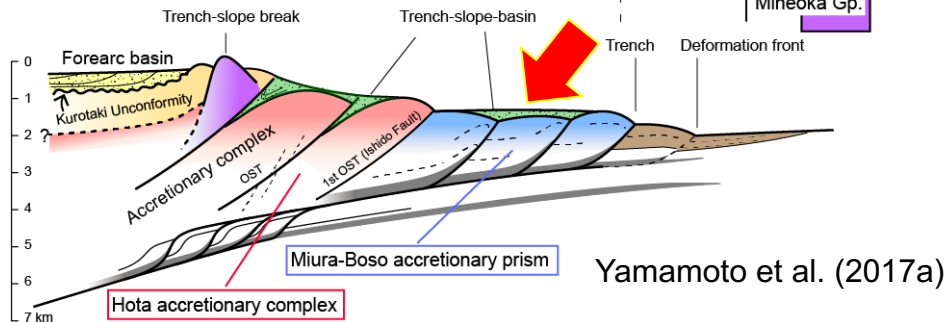
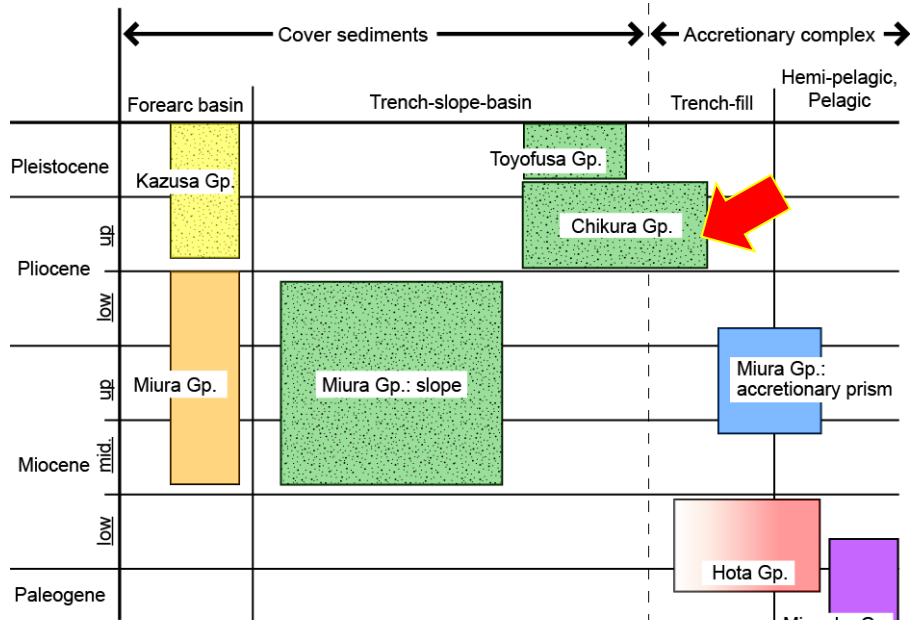
Matrices lost the original sedimentary structures

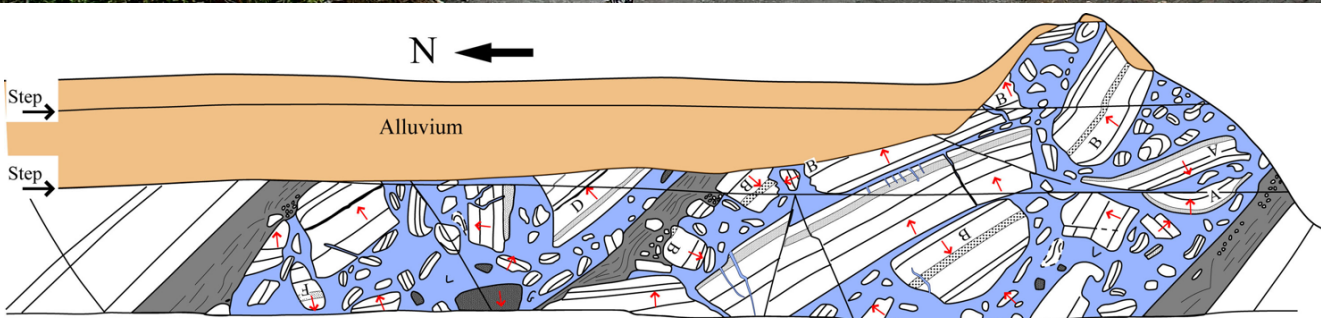
Sand intrusions into blocks/coherent layers

Yamamoto et al. (2009)



Young subduction margin on the Miura/Boso Peninsulas, central Japan





Yamamoto et al. (2007)

ブロックと基質



Blocks:

Alt. sand and siltstone (-15 m),
siltstone, rarely sandstone

Roundness: subangular- subrounded



Matrix:

Med.-coarse volcaniclastic **sand**
and the grater sized grains

Homogeneous

No foliation nor grain orientation

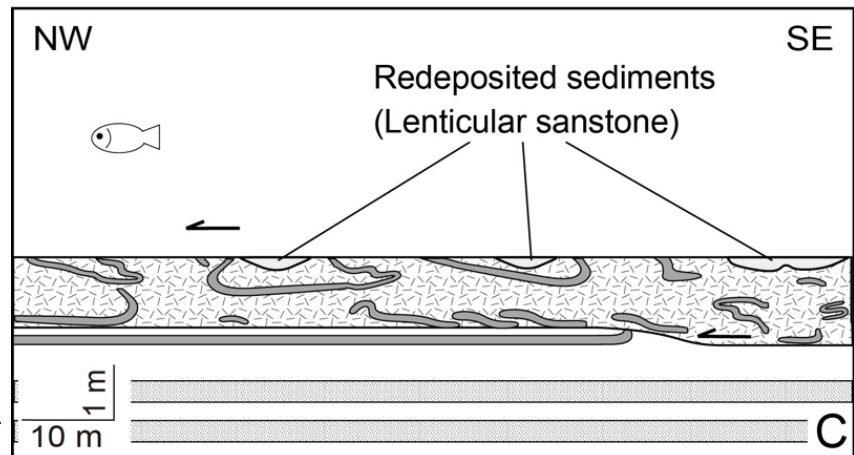
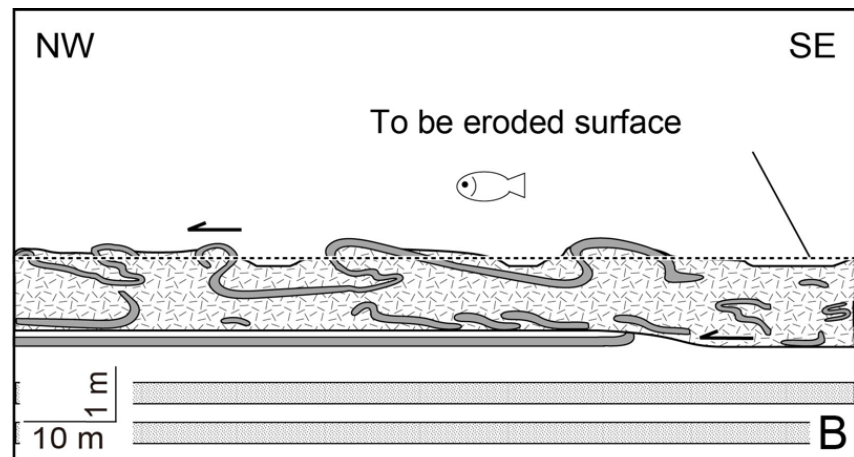
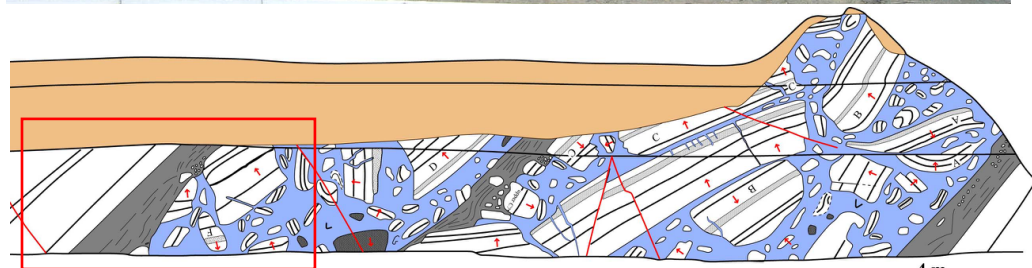
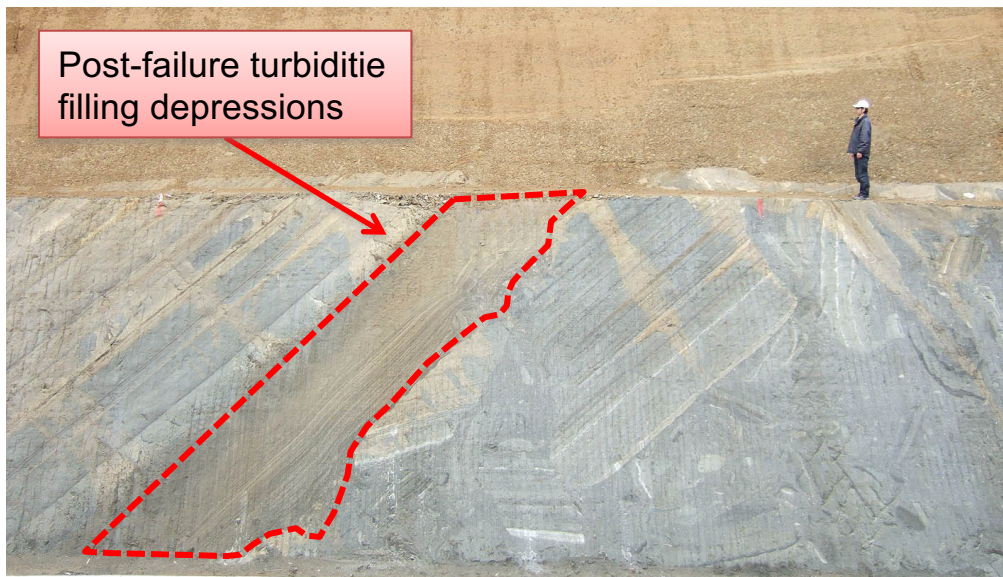
基質（砂）の貫入



Sandy matrices
injected into blocks



海底「表層」地すべりのマーカー



Yamamoto et al. (2009)

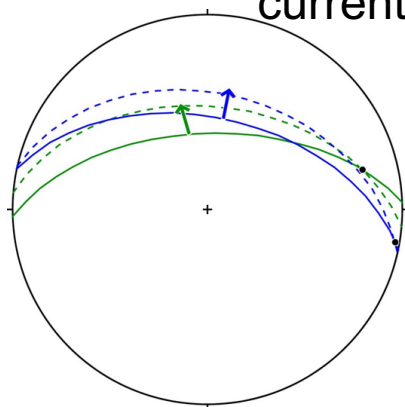
↓ MTD表面を覆うレンズ状砂岩



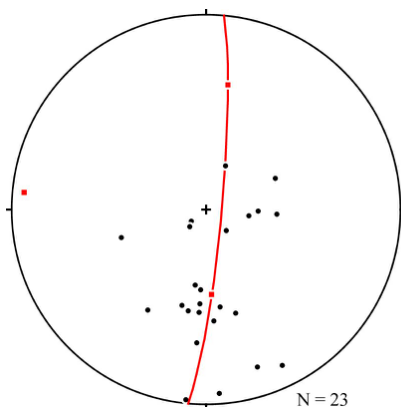
房総半島の前弧海盆の例

ブロックの回転

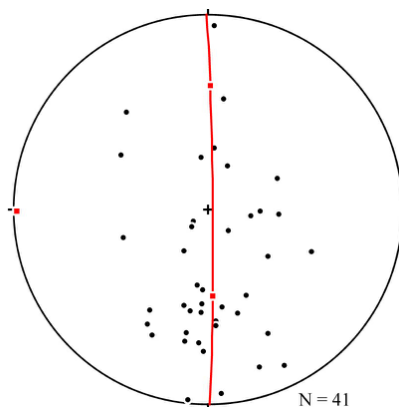
Paleo-turbidite
current



Large blocks (>2 m)

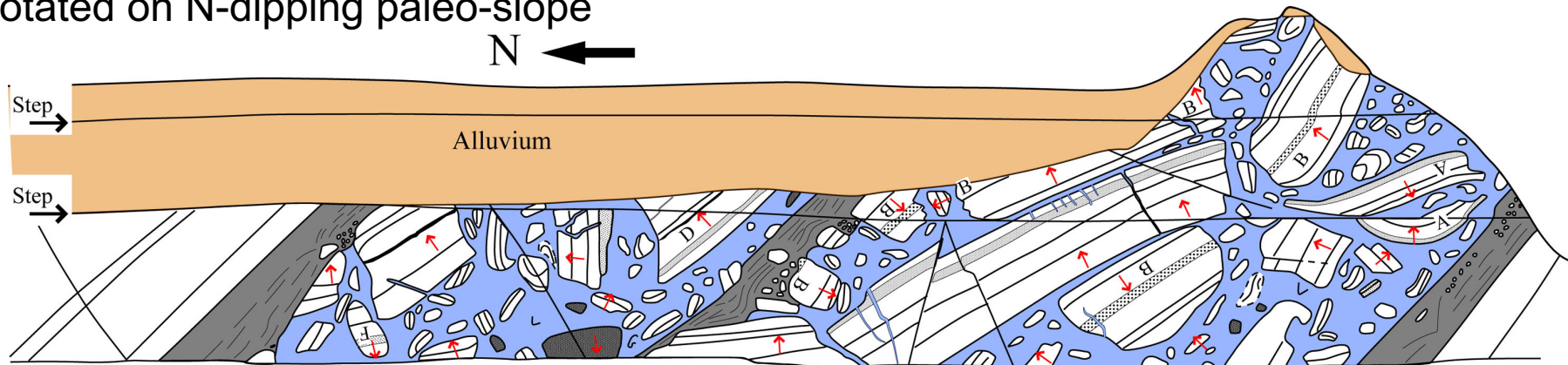


All blocks



Rotated on N-dipping paleo-slope

N ←

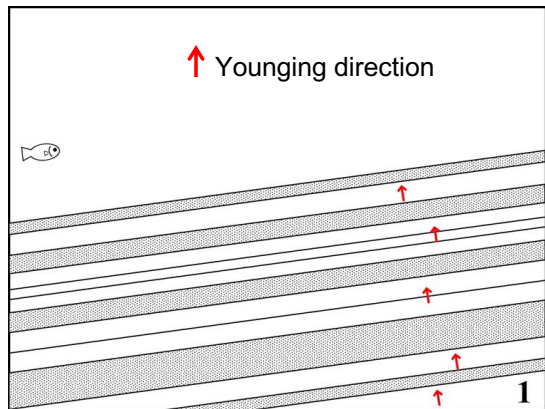
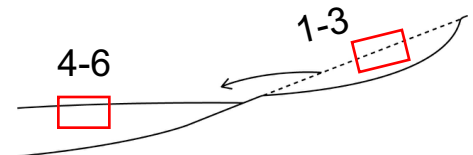


Yamamoto and Kawakami (2014)

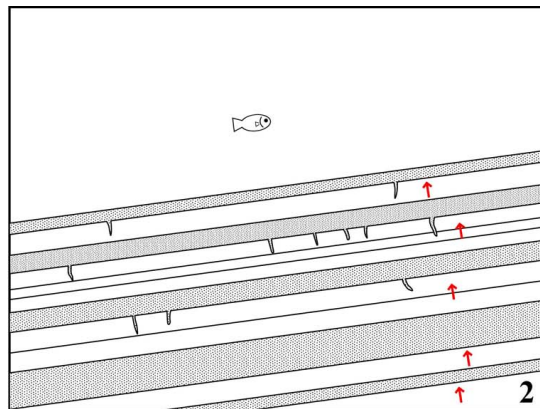
Yamamoto et al. (2007)

4 m

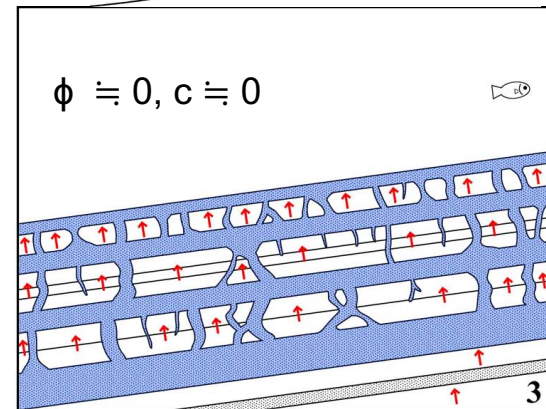
液状化/地すべりプロセス



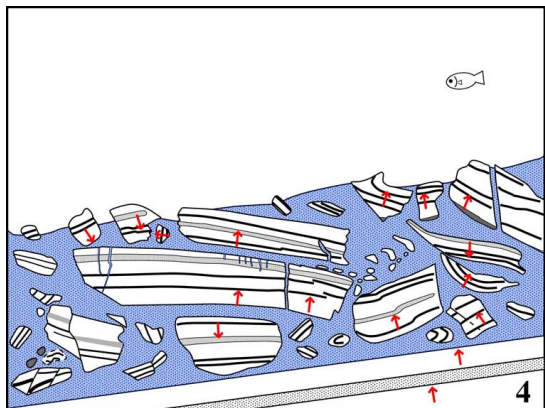
1. Soon after sedimentation



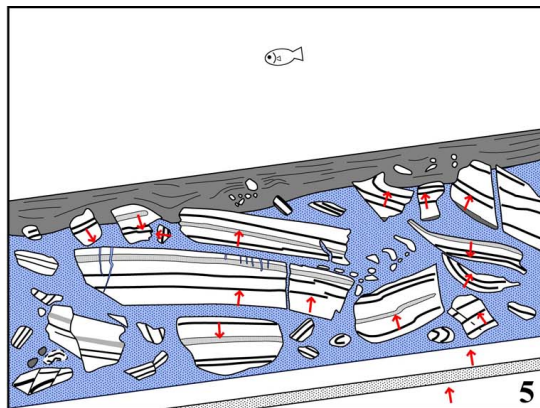
2. Liquefaction & small injection



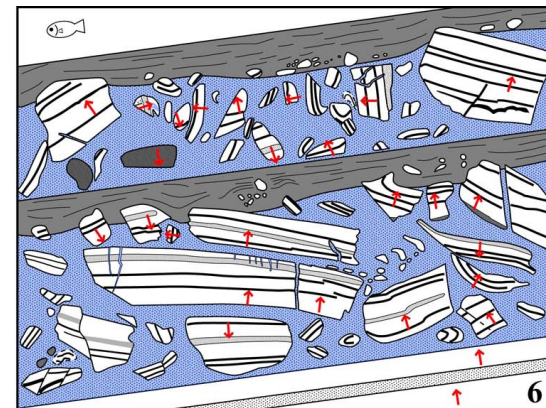
3. Intrusion of liquefied sand



4. Sliding (to the North)



5. Turbidite layer capped MTD



6. Second MTD

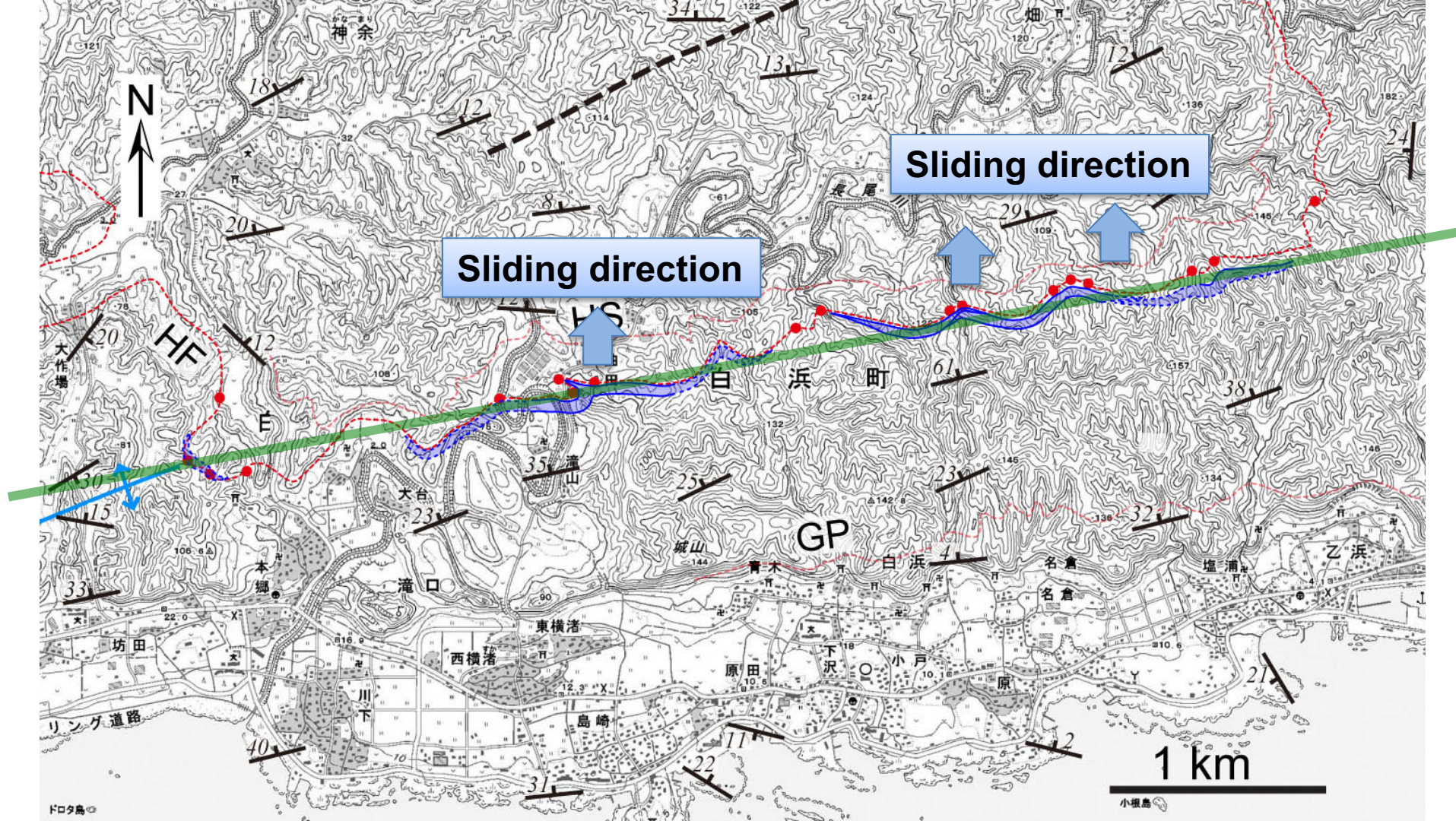
MTD just beneath key tuff bed "HF"

HF



側方変化の追跡

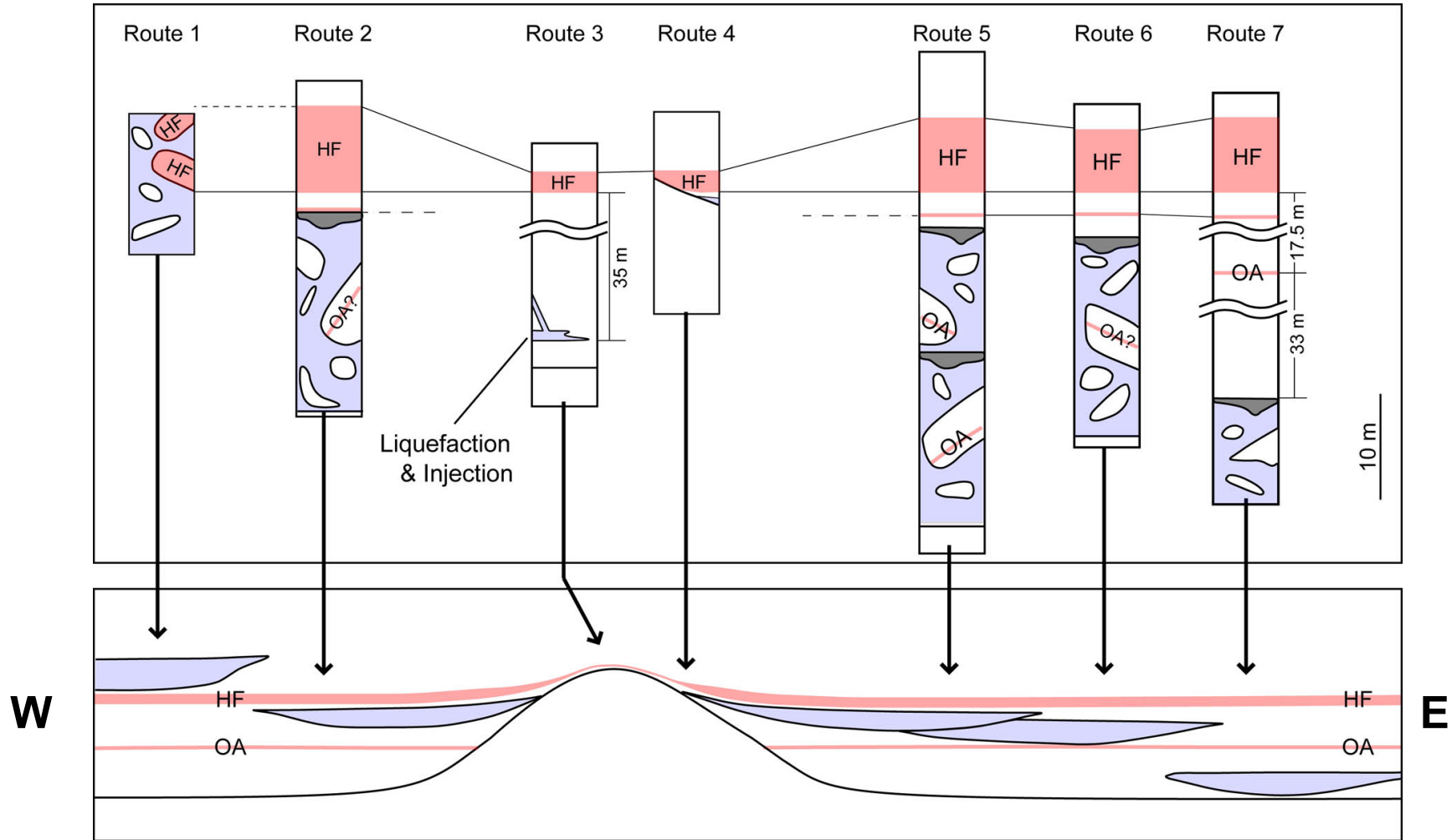




Sliding direction

Sliding direction

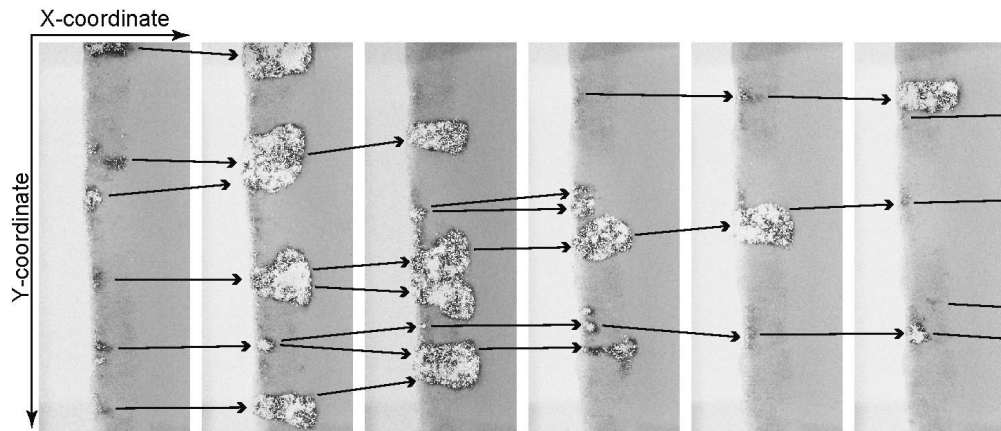
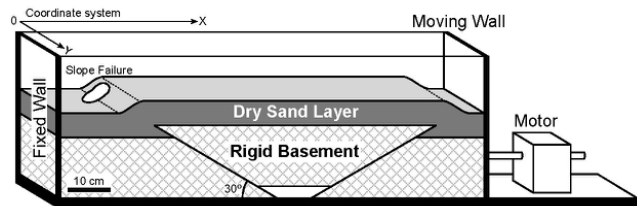
1 km



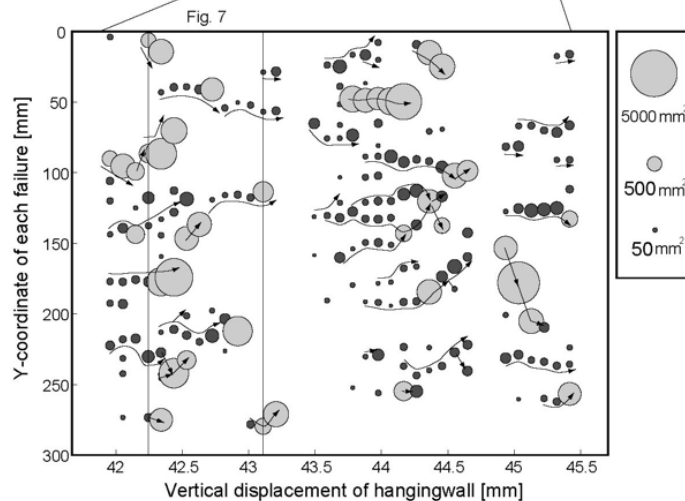
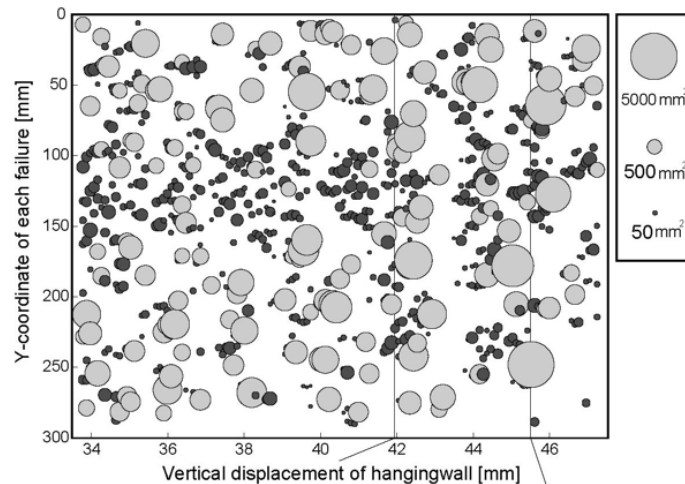
Route 1: Kawakami and Shishikura (2006)

地すべりの側方移動：砂箱実験

(Yamada et al., 2010)



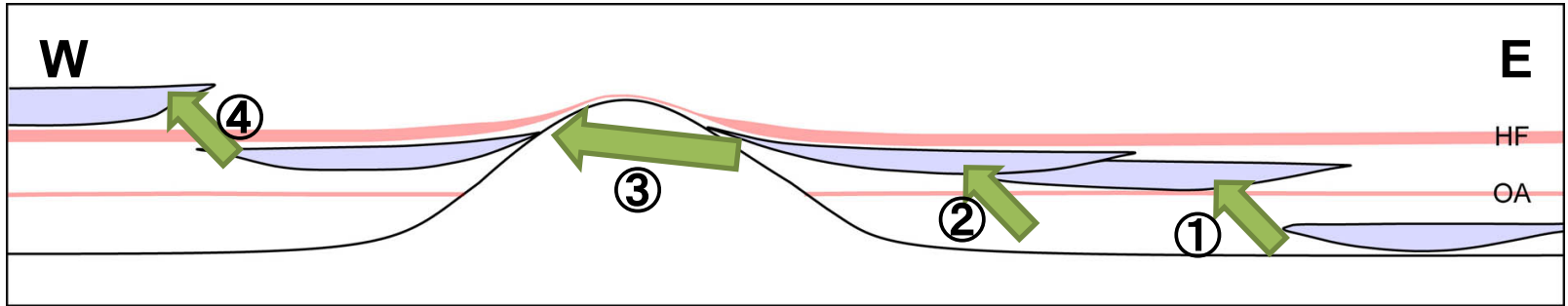
斜面崩壊は、既存崩壊の縁で発生
斜面崩壊の位置は、結果的に側方に移動



Total thickness of Hata Fm. (upper Chikura Gp.): about 500 m
(Saito, 1992; Kawakami and Shishikura, 2006)

Age: 1.95-0.85 Ma (Kawakami and Shishikura, 2006)

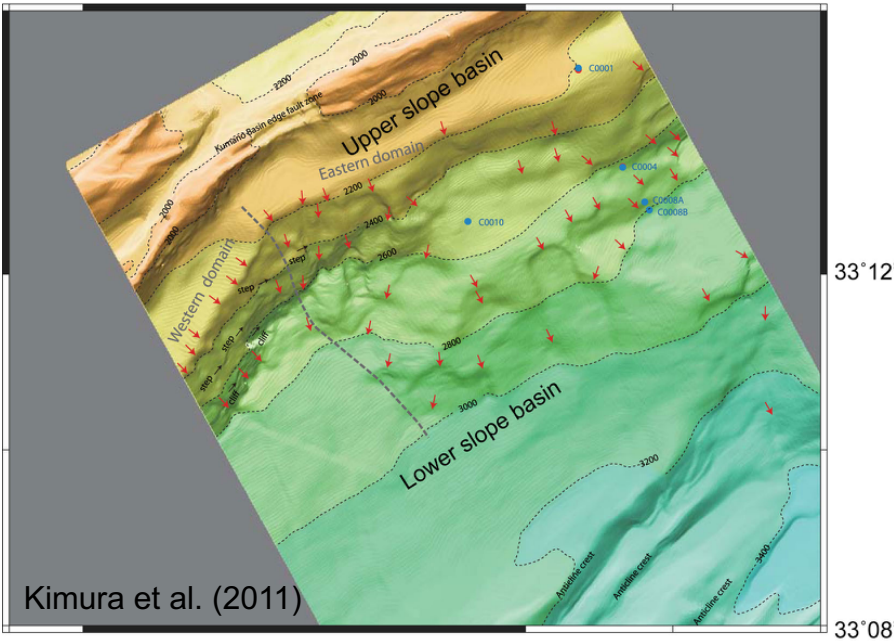
Mean sedimentation rate: 2,200 yr/m



- ① about 100,000yr
- ② 1,720 yr
- ③ 2,640 yr
- ④ at least 5,900 yr

まとめ

136°36' 136°42' 136°46'



地震による砂層の液状化は、海底地すべりの一般的かつ重要なトリガーとなる

液状化すべりの内部構造は、粗粒な砂、礫からなる基質と、その貫入構造で特徴づけられる。

ブロックの配列は、実はランダムではない。千倉層群における海底地すべりは、約200万年前に地震動によって形成された。

少なくとも5つの完結的な海底地すべりが発生し、西ほど若くなる傾向

海底地すべりの再来周期は、数千年～十万年

地すべりの側方移動は、砂箱実験でも再現

What is the frequency of submarine slides?
How are slides and earthquakes related?

MTDs or slide scarps: independent?
close relations?